

П. Е. ТВЕРДОХЛЕБ

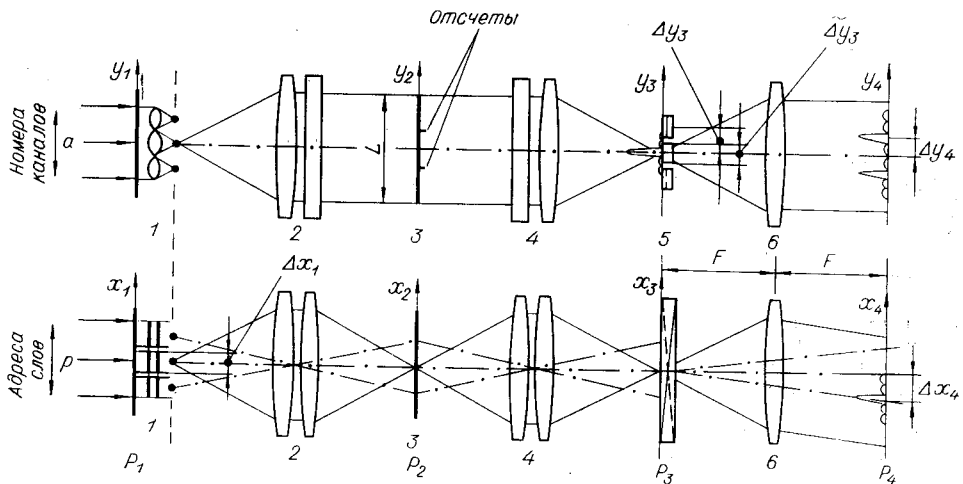
(Новосибирск)

**ХАРАКТЕРИСТИКИ МНОГОКАНАЛЬНОЙ  
КОГЕРЕНТНО-ОПТИЧЕСКОЙ СИСТЕМЫ  
С ЛИНЕЙНОЙ ОРГАНИЗАЦИЕЙ ПАМЯТИ**

Исследования когерентно-оптической системы, предложенной в работе\* для аналогового параллельного умножения матриц, показали, что такая система обладает многоканальными свойствами и имеет интересные приложения. В частности, если один из двух транспарантов, используемых в системе для ввода матриц (страниц данных), считать управляющим \*\*, а второй — информационным \*\*\*, то такая система может применяться в качестве оптического ЗУ с коллективным параллельным доступом к данным, представленным на информационном транспаранте (ИТ). В этом случае размер считываемого слова будет определяться количеством строк ИТ, емкость памяти в словах — количеством столбцов ИТ, а емкость памяти в отсчетах — произведением количества строк на количество столбцов того же транспаранта. Для режима параллельного доступа характерно то, что каждый из пользователей имеет во входной плоскости свою линейку модуляторов, с помощью которых он адресуется к любому слову памяти; в выходной плоскости — свою линейку фотодетекторов, с помощью которых производится считывание восстановленных из памяти слов.

Покажем, что емкость памяти ЗУ с параллельным доступом существенным образом зависит не только от дифракционных ограничений данной системы, но и от числа реализуемых в ней каналов выборки данных. Анализ проведем с учетом максимальных дифракционных фоновых засветок. Полученные результаты позволяют правильно оценить возможности рассматриваемой системы и произвести выбор ее параметров.

На рисунке в двух проекциях приведена принципиальная схема когерентно-оптической системы. Элементами системы являются: 1 — цилиндрический растр; 2, 4 — цилиндрические объективы; 3 — информационный транспарант (ИТ); 5 — клиновый растр; 6 — сферический объектив. Управляющий транспарант (УТ) размещен в плоскости  $P_1$ . Обозначим элементы УТ индексами  $(a, p)$ ,  $a=0, \pm 1, \dots, \pm A/2$ ,  $p=0, \pm 1, \dots, \pm P/2$ , где  $a$  — номер канала (пользователя),  $p$  — адрес слова; элементы ИТ индексами  $(t, p)$ :  $t=0, \pm 1, \dots, \pm T/2$ ,  $p=0, \pm 1, \dots, \pm A/2$ , где  $t$  — номер отсчета,  $a$  — номер слова; элементы плоскости  $P_4$  индексами  $(t, a)$ , где  $t$  — номер элемента столбца,  $a$  — номер столбца. Количество клиньев в растре 5 равно количеству каналов системы (т. е.  $A+1$ ). Клины разнонаклонные. При этом клин с номером  $a$  отклоняет все пространственно-смещенные и проходящие через него световые пучки (см. ось  $x_3$ ) на один и тот же линейный участок плоскости  $P_4$ , соответствующий столбцу с но-



\* Нежевенко Е. С., Твердохлеб П. Е. Умножение матриц оптическим методом. — Автометрия, 1972, № 6, с. 24—29.

\*\* Элементы транспаранта принимают значения 1 («прозрачен») и 0 («непрозрачен»).

\*\*\* Элементы транспаранта могут в общем случае принимать несколько градаций пропускания.

мером  $a$ . Поскольку формирование этих пучков производится входной линейкой модуляторов, ориентированных вдоль оси  $x_1$  и соответствующих каналу  $a$ , то любое из считываемых ими информационных слов восстанавливается на линейке фотодетекторов, размещенной вдоль столбца  $a$  выходной плоскости. Такое построение системы обеспечивает ей возможность независимой работы по  $(A+1)$  каналам одновременно.

Установим элементы  $(-1, -1), (0, 0), (1, 1)$  УТ в состояние 1. Тогда после освещения входа системы плоской монохроматической волной света в фокальной плоскости цилиндрического растра будет сформировано три световых «штриха», расположенных по диагонали. Далее штрихи проецируются по оси  $y$  в плоскость  $P_3$ , при этом расширенные световые пучки, распространяясь между объективами 2 и 4, производят считывание трех линейных слов  $k_{-1}(y_2), k_0(y_2)$  и  $k_{+1}(y_2)$ . Будем предполагать: отсчеты слова  $k_0(y_2)$ , за исключением центрального ( $t=0$ ), равны 1, отсчеты слов  $k_{-1}(y_2)$  и  $k_{+1}(y_2)$  все равны 1. Кроме того, отсчеты имеют размер  $\Delta y_2$  и расположены вдоль оси  $y_2$  с шагом  $\Delta y_2 \geq \widetilde{\Delta y}_2$ . Поскольку клинья растра 5 имеют размер  $\widetilde{\Delta y}_3$ , то ограничение спектров Фурье слов приведет к тому, что восстанавливаемые на разных столбцах плоскости  $P_4$  слова  $k_{-1}, k_0$  и  $k_{+1}$  оказываются «размытыми». Размытие по оси  $y_4$  определяется функцией  $\text{sinc}(\pi \widetilde{\Delta y}_3 y_4 / \lambda F)$  — одномерной импульсной реакцией отображающей оптической системы между плоскостями  $P_2$  и  $P_4$ . Здесь  $\lambda$  — длина волны света,  $F$  — фокусное расстояние объектива 6.

Вдоль оси  $x$  система осуществляет двойное проецирование световых штрихов размером  $\Delta x_1$  в плоскость  $P_3$ . Если пренебречь уширением штриха на этом участке системы, то амплитудное распределение света вдоль оси  $x_4$  будет пропорционально функции  $\text{sinc}(\pi \Delta x_1 (x_4 + a \Delta x_4) / \lambda F)$ , где координата  $a \Delta x_4$ , зависящая от номера включенного канала, определяет место восстановления слов  $k_{-1}, k_0$  и  $k_{+1}$  выходной плоскости (или координату линейки фотодетекторов).

С учетом изложенного амплитудное распределение света, пропорциональное изображениям восстановленных слов, будет иметь вид

$$\begin{aligned} k_{-1}(y_4) &= \text{sinc} \frac{\pi \Delta x_1}{\lambda F} (x_4 + \Delta x_4) \sum_{t=-T/2}^{T/2} \int_{-L/2}^{L/2} \text{rect} \left[ \frac{y_2 - t \Delta y_2}{\widetilde{\Delta y}_2} \right] \text{sinc} \frac{\pi \widetilde{\Delta y}_3}{\lambda F} (y_4 + y_2) dy_2; \\ k_0(y_4) &= \text{sinc} \frac{\pi \Delta x_1}{\lambda F} x_4 \sum_{\substack{t=-T/2 \\ t \neq 0}}^{T/2} \int_{-L/2}^{L/2} \text{rect} \left[ \frac{y_2 - t \Delta y_2}{\widetilde{\Delta y}_2} \right] \text{sinc} \frac{\pi \widetilde{\Delta y}_3}{\lambda F} (y_4 + y_2) dy_2; \\ k_{+1}(y_4) &= \text{sinc} \frac{\pi \Delta x_1}{\lambda F} (x_4 - \Delta x_4) \sum_{t=-T/2}^{T/2} \int_{-L/2}^{L/2} \text{rect} \left[ \frac{y_2 - t \Delta y_2}{\widetilde{\Delta y}_2} \right] \text{sinc} \frac{\pi \widetilde{\Delta y}_3}{\lambda F} (y_4 + y_2) dy_2, \end{aligned} \quad (1)$$

где  $L$  — размер стороны транспаранта в плоскости  $P_2$ .

Из выражений (1) следует, что суммарный уровень дифракционного фона в окрестности точки  $(0, 0)$  плоскости  $P_4$  будет зависеть от двух факторов:

степени размытия отсчетов вдоль нулевого столбца и расстояния ( $\Delta y_4 = \widetilde{\Delta y}_2$ ) между отсчетами;

степени размытия столбцов и расстояния ( $\Delta x_4$ ) между ними.

Существует еще один фон, который, вообще говоря, следует учитывать. Имеется в виду перекрестный фон, появляющийся в выходной плоскости из-за плотного размещения клиньев растра. В результате «хвосты» спектров Фурье слов, восстанавливаемых, например, по каналам  $a = \pm 1$ , попадают на клин, соответствующий промежуточному каналу (см. рисунок, плоскость  $P_3$ ). Тем не менее этим фоном будем пренебречь. Шаг  $\Delta y_3$  между клиньями выберем таким, чтобы энергия попадающих на него «хвостов» была пренебрежимо малой в сравнении как с энергией сигнала, передаваемой в выходную плоскость, так и с энергией дифракционного фона, возникающего в выходной плоскости вследствие размытия отсчетов и столбцов. Естественно, что увеличение шага  $\Delta y_3$  повлечет за собой уменьшение количества каналов, одновременно действующих в системе.

Если количество параллельных каналов является заданным, то шаг между клиньями в плоскости  $P_3$  будет равен  $\Delta y_3 = L/(A+1)$ .

Пусть  $\widetilde{\Delta y}_3 = \Delta y_3/\delta_1$ , где  $\delta_1 \geq 1$  — коэффициент, выбираемый из условия существенного превышения энергии сигнала над энергией перекрестных помех (два соседних «хвоста»). Тогда, если исходить из предположения, что на размере  $\Delta y_3$  клина размещается нулевой порядок дифракции от отсчета размером  $\Delta y_2$ , получим  $\Delta y_2 = -2\lambda F/\widetilde{\Delta y}_3$ . Очевидно, что размер  $\Delta y_4$ , характеризующий размытие импульсной реакции вдоль оси  $y$ , также равен  $2\lambda F/\widetilde{\Delta y}_3$ .

Шаг между отсчетами будем выбирать по формуле

$$\Delta y_4 = \widetilde{\Delta y}_4 + \delta_2 \widetilde{\Delta y}_4, \quad (2)$$

где  $\delta_2$  — коэффициент ( $\delta_2 \geq 0$ ). Первое слагаемое в (2) определяет размер размытого отсчета, а второе — размер между краями размытых отсчетов, выбираемых из соображения обеспечения в выходной плоскости заданного отношения сигнал/дифракционный фон.

Зная шаг  $\Delta y_4$ , можно найти количество отсчетов, которое можно разместить на транспаранте со стороной  $L$ , т. е.

$$(T+1) = L/(1+\delta_2)\Delta y_4 = L^2/2\delta_1(1+\delta_2)\lambda F(A+1). \quad (3)$$

Формулу (3) можно представить в виде

$$(T+1) = \frac{L/(A+1)}{2\delta_1(1+\delta_2)(\lambda F/L)}. \quad (4)$$

Отсюда следует, что возможность работы системы в режиме коллективного доступа дается ценой уменьшения эффективного размера стороны транспаранта, а следовательно, уменьшения количества отсчетов в слове. Знаменатель этого выражения — эффективный размер шага между отсчетами, зависящий от требуемого отношения сигнала/дифракционный фон в выходной плоскости.

Зависимость емкости слова от количества каналов системы следует также из формулы

$$(T+1)(A+1) = \frac{L}{2\delta_1(1+\delta_2)(\lambda F/L)} = \text{const}, \quad (5)$$

полученной из (4). Можно видеть, что произведение количества отсчетов на количество каналов при фиксированных параметрах системы является постоянной величиной.

Количество слов, хранимых в памяти системы, можно рассчитать аналогичным образом. Прежде всего примем во внимание, что шаг между столбцами в выходной плоскости равен шагу следования клиньев в плоскости  $P_3$ , что выражается равенством  $\Delta x_4 = \Delta y_3$ . Допустим далее, что  $\Delta x_4 = \Delta x_4/\delta_1$ . Тогда

$$\Delta x_1 = 2\lambda F \delta_1 / \Delta y_3,$$

$$(P+1) = \frac{L^2}{2\delta_1 \lambda F (A+1)} = \frac{L/(A+1)}{2\delta_1 (\lambda F/L)}. \quad (6)$$

Из выражения (6) следует, что при многоканальной работе количество слов также уменьшается в  $(A+1)$  раз, а произведение количества страниц на количество каналов, как и в случае (5), является постоянной величиной, т. е.

$$(P+1)(A+1) = \frac{L}{2\delta_1 (\lambda F/L)} = \text{const}. \quad (7)$$

С учетом (4) и (6) общая емкость памяти системы равна

$$(P+1)(T+1) = \frac{(L/(A+1))^2}{4\delta_1^2(1+\delta_2)(\lambda F/L)^2}. \quad (8)$$

Формула (8) показывает, что при работе системы в режиме  $(A+1)$  параллельных каналов уменьшается емкость ее памяти в  $(A+1)^2$  раз.

Требуемые углы наклона клиньев раstra можно определить из уравнения  $\sin \varphi_0 = a\Delta x_4/F$ ,  $a=0, \pm 1, \dots, \pm A/2$ .

В заключение найдем параметры оптической системы с  $D/F=1:4$ ,  $F=400$  мм,  $L=KD/\sqrt{2} \sim 60$  мм ( $K < 1$ ) и  $\lambda=0.6 \cdot 10^{-3}$  мм. Примем  $\delta_1=2.5$ ,  $\delta_2=0.5$ . Можно показать, что в этом случае отношение сигнал/дифракционный фон в окрестности точки  $(0, 0)$ , где складываются по амплитуде когерентные дифракционные засветки от 4 ближайших окружающих отсчетов, составляет величину порядка 18:1, а отношение сигнал/перекрестный фон — величину порядка 44:1. Тогда из (5) и (7) следует, что  $(T+1)(A+1) \sim 2 \cdot 10^8$ , а  $(P+1)(A+1) \sim 3 \cdot 10^8$ . Если в системе реализовать работу по  $(A+1)=10$  параллельным каналам, то емкость слова  $(T+1) \sim 200$  отсчетов, а количество слов  $(P+1) \sim 300$ . При этом полная емкость памяти системы —  $(T+1)(P+1) = 6 \cdot 10^4$  отсчетов. Емкость памяти увеличивается на два порядка при одноканальной работе.

Пример показывает, что при многоканальной работе рассматриваемая система может оперировать страницами сравнительно небольшой размерности. Поэтому ее можно применять в качестве буферного оптического ЗУ. «Подкачка» данных может производиться по электрическому или оптическому каналу. В первом случае ИТ должен быть электрически управляемым, во втором — оптически управляемым.

Поступило в редакцию  
29 июля 1979 г.